

محاسبه و ارزیابی تبخیر در دریاچه پشت سدها با استفاده از مدل تبخیر و تعرق SEBAL مطالعه موردنی: سد امیرکبیر

سعیده زمانی^۱

مجید رحیمزادگان^۲

تاریخ دریافت مقاله: ۹۵/۰۷/۱۵

تاریخ پذیرش مقاله: ۹۶/۰۵/۲۱

چکیده

تبخیر از دریاچه پشت سدها و دریاچه‌های آب شیرین از جمله روش‌های هدررفت منابع آب است. به همین دلیل اندازه‌گیری مقدار تبخیر از سطح پهنه‌های آب شیرین اهمیت بسیاری در مدیریت منابع آب دارد. روش‌های گوناگونی برای اندازه‌گیری تبخیر-تعرق ارائه شده که از جمله آن‌ها الگوریتم توازن انرژی در سطح (SEBAL) است که می‌تواند با استفاده از تصاویر ماهواره‌ای نقشه‌های پهنه‌بندی تبخیر-تعرق تولید نماید. تا حال، الگوریتم SEBAL بیشتر در برآورد تبخیر-تعرق از سطح خشکی‌ها و پوشش‌های گیاهی پیاده‌سازی شده و تحقیقات کمی در زمینه کاربرد آن در سطح پهنه‌های آبی شیرین انجام شده است. هدف این تحقیق، بکارگیری الگوریتم SEBAL جهت پهنه‌بندی تبخیر از سطح دریاچه‌های پشت سدها است. به همین منظور سه تصویر Landsat TM از دریاچه سد امیرکبیر (کرج) و زمین‌های کشاورزی پایین دست آن مربوط به ماه‌های خرداد، تیر و مرداد سال ۱۳۹۰ تهیه گردید و تصویبات رادیومتریک و هندسی بر روی آن انجام شد. برای انجام پیاده‌سازی‌های الگوریتم SEBAL، از داده‌های استگاه هواشناسی کرج استفاده شد. همچنین مقدار تبخیر اندازه‌گیری شده از روش تشت تبخیر توسط شرکت آب منطقه‌ای استان تهران در نزدیکی دریاچه سد امیرکبیر به عنوان داده‌های واقعیت زمینی استفاده گردید. RMSE نتایج به دست آمده از SEBAL برای سد امیرکبیر با داده‌های زمینی، 0.27 میلیمتر بود که مقدار قابل قبولی محسوب می‌شد. مقدار تبخیر روزانه نیز از کل سطح دریاچه در تاریخ‌های منتخب به ترتیب $0.435 \text{ m}^3/\text{s}$ ، $0.643 \text{ m}^3/\text{s}$ و $1.037 \text{ m}^3/\text{s}$ متر در روز به دست آمد. علاوه بر این، نتایج نشان دهنده افزایش تبخیر از سطح مخزن سد در مناطق کم عمق به سمت مناطق عمیق‌تر بود که این مورد می‌تواند نشان دهنده کارایی نامناسب روش‌های نقطه‌ای اندازه‌گیری تبخیر باشد. در مجموع، نتایج بیانگر کارایی الگوریتم SEBAL برای برآورد تبخیر از سطح دریاچه‌های سدها بود و می‌توان با توجه به شرایط مکانی و زمانی هر منطقه، از آن برای تعیین تبخیر پهنه‌های آبی شیرین استفاده نمود.

واژه‌های کلیدی: الگوریتم SEBAL، تبخیر-تعرق، تصاویر ماهواره‌ای، دریاچه سد، پهنه‌بندی

۱- دانشجوی کارشناسی ارشد مهندسی و مدیریت منابع آب، دانشکده عمران، دانشگاه صنعتی خواجه نصیرالدین طوسی zamani.saeideh@gmail.com

۲- استادیار گروه مهندسی منابع آب، دانشکده عمران، دانشگاه صنعتی خواجه نصیرالدین طوسی (نویسنده مسئول) rahimzadegan@kntu.ac.ir

۱- مقدمه

مستقیم مقدار تبخیر، به دلیل عواملی همچون نبودن ایستگاه تبخیرسنجی، عدم داده‌برداری مرتب و صحیح و هزینه‌بر بودن احداث ایستگاه‌های تبخیرسنجی مشکل است (Bastiaanssen, et al., 1998). همچنین این داده‌ها به صورت نقطه‌ای برداشت شده که امکان انجام پنهان‌بندی با دقت مناسب را فراهم نمی‌کند. علاوه بر روش تست تبخیر، می‌توان با بکارگیری داده‌های هواشناسی در قالب معادلات تحریبی یا معادلات با پایه نظری، میزان تبخیر را تخمین زد. این روش‌ها نیز بر مبنای داده‌های ایستگاهی انجام می‌گیرند که مشکلات وارد بر روش تبخیر بر آن‌ها نیز مترب است (Zare et al., 2009).

علاوه بر روش‌های مستقیم و تحریبی اندازه‌گیری تبخیر، روش‌های بیلان انرژی نیز از جمله روش‌های محاسبه تبخیر هستند. روش بیلان انرژی^۱ در تخمین میزان تبخیر که بیشتر در محاسبه تبخیر از سطح آزاد آب نظیر دریاچه‌ها به کار می‌رود، بر پایه اصل بقای انرژی استوار است (صفوی، ۱۳۹۳). در سال‌های اخیر و با پیشرفت سنجنده‌های ماهواره‌ای و روش‌های سنجش از دور، استفاده از تصاویر تهیه شده توسط این سنجنده‌ها در تعیین میزان تبخیر-تعرق بسیار مورد توجه قرار گرفته است (Bastiaanssen et al., 1998). با استفاده از سنجش از دور می‌توان تبخیر-تعرق را در یک منطقه بدون نیاز به دانستن پیشنهادی در رابطه با شرایط خاک، محصول و نحوه مدیریت مزرعه برآورد نمود (Bastiaanssen et al., 2005). به کمک این داشن، توزیع مکانی عوامل مورد نیاز مدل‌های تبخیر-تعرق و تغیرات زمانی آنها بین دو تصویربرداری متولی فراهم می‌شود (Allen et al., 2007). الگوریتم‌های بیلان انرژی بر دو نوع هستند: ۱) الگوریتم‌های تکمنبعی^۲ و ۲) الگوریتم‌های دومنبعی^۳ (Bastiaanssen, et al., 1998). در الگوریتم‌های تکمنبعی تبخیر و تعرق مجموعاً به صورت یک پارامتر محاسبه می‌شود، اما در الگوریتم‌های دومنبعی تبخیر و تعرق هریک به صورت یک جمله جداگانه در نظر

نموده کمبود آب از مهمترین و بزرگترین چالش‌های قرن آینده است (Genau et al, 2017). آب یکی از عوامل اصلی تعیین کننده در توسعه کشاورزی و صنعتی مناطق خشک و نیمه خشک محسوب می‌شود. مصرف بی‌رویه و نادرست منابع آبی و نیز هدر رفت آن‌ها از طرق مختلف باعث ایجاد بحران‌های بسیاری شده است (ابراهیمی و بیزدانی، ۱۳۹۲). این بحران‌ها موجب شده‌اند که نیاز به یک راه حل مناسب جهت پایش و مدیریت منابع آبی بیش از پیش احساس شود. یکی از منابع آبی مهم تأمین کننده نیاز آب شرب، کشاورزی و صنعت، بخصوص در مناطق خشک و نیمه خشک، آب ذخیره شده در دریاچه‌های پشت سدهای احداث شده بر روی رودخانه‌ها است (Sima et al., 2013). از جمله روش‌های هدر رفت آب در دریاچه‌های آب شیرین و مخازن سدها، تبخیر از سطح آن‌ها بوده و این مورد بخصوص در مناطق خشک و نیمه خشک می‌تواند نقش تعیین کننده‌ای در مدیریت منابع آبی ایفا کند (Gao et al, 2008) در کشور ایران با بارش نسبتاً کم، تلفات تبخیر نقش مهم در بیلان آب مخازن سدها دارد. برای اندازه‌گیری و برآورد تبخیر سطحی روش‌های مختلفی ارائه شده است. یکی از روش‌های رایج برای محاسبه تبخیر از سطح دریاچه‌ها و مخازن آبی و همچنین اندازه‌گیری تبخیر-تعرق گیاهان، استفاده از تست‌های تبخیر است (ابراهیمی و بیزدانی، ۱۳۹۲). تست تبخیر به عنوان وسیله‌ای کم هزینه به طور مستقیم تبخیر را اندازه‌گیری نموده و نتایج حاصل از آن قابل تعمیم به تبخیر از سطح دریاچه، مخازن و تبخیر-تعرق در کشاورزی است (Irmak et al, 2002). به دلایل مختلف، در مجموع مقدار تبخیری که از تست تبخیر به دست می‌آید، بیشتر از مقدار تبخیر از سطح آزاد آب در هر منطقه بوده، لذا ضریبی به نام ضریب تستک تعریف می‌شود تا مقدار اندازه‌گیری شده در تست تبخیر را به مقدار واقعی تبدیل نماید (صفوی، ۱۳۹۳).

استفاده از روش تست تبخیر، علیرغم اندازه‌گیری

1- Energy Balance

2- One-source models

3- Two-source models

فصلنامه علمی - پژوهشی اطلاعات جغرافیایی (SEAL)
محاسبه و ارزیابی تبخیر در دریاچه پشت سدها ... / ۵۹

۱۱۷۴ میلیمتر)، منعکس کننده تغییرات قابل توجه این عامل در کاربری‌های مختلف حوضه بود (پورمحمدی و همکاران، ۱۳۹۴).

کمیسیون ملی آب^۲ استرالیا (۲۰۰۹)، در گزارشی تبخیر از سطح دریاچه‌های وترل^۳ و پامamaroo^۴ را با استفاده از روش الگوریتم SEBAL به ترتیب ۱۳۳/۱ و ۱۱۸/۱ گالن، با استفاده از روش تبخیر ۱۱۸/۷ و ۱۲۹/۳ گالن و با استفاده از روش تعادل آب ۱۲۵/۸ و ۱۳۲/۴ گالن، برآورد کرد. نتایج حاصل از این گزارش، کارایی و برتری روش‌های سنجش از دور را در تخمین تبخیر از سطح دریاچه‌ها نشان داد، به ویژه در مناطقی که دسترسی به داده‌های زمینی ممکن نباشد، (National Water Commission, 2009).

سیما و همکاران (۲۰۱۳)، در پژوهشی، جهت ارائه مدلی برای برآورد تبخیر از سطح آب دریاچه‌های سور با لحاظ نمودن اثرات سوری و تغییرات مکانی متغیرها، مدل توزیعی برای برآورد نرخ تبخیر روزانه بر پایه روش بیلان انرژی و استفاده از داده‌های سنجش از دور تلاش نمودند. نقشه‌های به دست آمده از نرخ تبخیر از دریاچه ارومیه، نشان داد که نرخ تبخیر از سواحل به سمت نواحی داخلی دریاچه افزایش می‌یابد. محدوده تغییرات نرخ تبخیر از سطح دریاچه نیز از ۳ تا ۷ میلیمتر در روز، طی ماه‌های مختلف برآورد شد (Sima et al., 2013).

کاویانی و همکاران (۱۳۹۲)، در تحقیقی با استفاده از تصاویر سنجنده مادیس^۵ و الگوریتم SEBAL، تبخیر و تعرق را در دشت قزوین به دست آورند. نتایج نشانده‌نده کارایی مدل SEBAL در دشت قزوین بودند، این الگوریتم در برآورد تبخیر و تعرق در دشت قزوین دارای ضریب تبیین برابر ۰/۹۲ بود.

رحیمی و همکاران (۲۰۱۵)، با هدف مقایسه نتایج حاصل از الگوریتم SEBAL با مقادیر محاسبه شده توسط

گرفته می‌شد.

الگوریتم توازن انرژی سطح زمین^۶ (SEBAL) از مهمترین و پرکاربردترین روش‌های محاسبه بیلان انرژی برای برآورد تبخیر-تعرق واقعی با استفاده از داده‌های سنجش از دور است. این الگوریتم از جمله مدل‌های تکمنبعی می‌باشد. SEBAL تبخیر را بر اساس تعادل لحظه‌ای انرژی در سطح هر پیکسل از یک تصویر ماهواره‌ای محاسبه می‌نماید (کریمی و همکاران، ۱۳۹۰). الگوریتم SEBAL برای اولین بار توسط باستیانسن و همکاران (۱۹۹۸) برای برآورد تبخیر-تعرق از سطح پوشش‌های گیاهی ارائه شد (Bastiaanssen et al., 1998) و الگوریتم اولیه توسط آلن و همکاران (۲۰۰۲) اصلاح گردید.

bastianen و همکاران (۲۰۰۵)، در تحقیقی دقت تبخیر-تعرق برآورده شده در روش SEBAL را برای یک روز در مقیاس ۱۰۰ هکتار، ۸۵ درصد به دست آوردنده که این دقت برای یک فصل تا ۹۵ درصد افزایش نشان داد. تحقیق مذکور نشان داد که به طور کلی، استفاده از این روش برای برآورد تبخیر-تعرق در مقیاس‌های بزرگ و دوره‌های بلند مدت نتایج بهتری می‌دهد.

ثنایی نژاد و همکاران (۱۳۹۰)، در تحقیقی توزیع مکانی تبخیر-تعرق واقعی روزانه در زیر حوضه آبریز مشهد را با استفاده از تصاویر سنجنده مادیس و الگوریتم SEBAL به دست آورند. نتایج نشان داد که تصاویر سنجنده مادیس و الگوریتم SEBAL قادر هستند مقدار تبخیر-تعرق واقعی را در مقیاس روزانه به خوبی برآورد کنند (ثنایی نژاد و همکاران، ۱۳۹۰).

پورمحمدی و همکاران (۱۳۸۹) در پژوهشی با بررسی یک سری زمانی از تصاویر سنجنده مادیس و به کارگیری الگوریتم SEBAL، تبخیر-تعرق واقعی در حوضه آبخیز منشاد در استان یزد را به دست آورند. نتایج حاصل از این پژوهش، ضمن نشان دادن تغییرات مکانی تبخیر-تعرق صورت گرفته از کاربری‌های مختلف اراضی (بین ۲۷ تا

2- National Water Commission

3- Wetherell

4- Pamamaroo

5- MODIS: Moderate Resolution Imaging Spectroradiometer

1- Surface Energy Balance Algorithm for Land

۴/۴ میلیمتر را در بر می‌گیرد. حداقل مقدار تبخیر و تعرق در مناطق کشاورزی (به دلیل فصل رشد گیاهان) به دست آمد. مقایسه نتایج این مدل و اندازه‌گیری‌های تشت تبخیر، نشان دهنده عدم کارایی و بسط نتایج تشت تبخیر به کل منطقه مطالعاتی بود (Jana et al. 2016).

جنانو^۸ و همکاران (۲۰۱۷)، تبخیر و تعرق واقعی را با استفاده از الگوریتم‌های سبال، SSEB^۹ و SSEBop^{۱۰} براساس نتایج این تحقیق، مقدار نیشکر ونجی^{۱۱} محاسبه کردند. براساس نتایج این تحقیق، مقدار RMSE بین دو مدل SSEB و SSEBop برابر با $0/99$ و بین مدل

وبال و دو مدل دیگر در حدود $0/5$ میلیمتر بوده است. طبق

نتایج این تحقیق، در زمین‌های نیشکری که خوب آبیاری شده‌اند

و در فصل رشد گیاهان، هر سه مدل تبخیر و تعرقی بالاتر از

اندازه‌گیری‌های زمینی، محاسبه نمودند (Genanu et al., 2017).

تحقیقات بسیاری، کارایی روش SEBAL را برای برآورد تبخیر-تعرق مناطق کشاورزی تأیید نموده‌اند، اما این روش برای پهنه‌های آبی نیز قابلیت پیاده‌سازی داشته و می‌تواند برای تبخیر از سطح پهنه‌های آبی مختلف مورد استفاده قرار گیرد. هدف این تحقیق، برآورد تبخیر از سطح آب دریاچه پشت سدها با استفاده از مدل SEBAL است. بدین منظور، دریاچه سد امیرکبیر (کرج) به عنوان منطقه مورد مطالعه انتخاب شده و با استفاده از تصاویر ماهواره‌ای Landsat پیاده‌سازی مربوط به مدل SEBAL انجام شد. برای ارزیابی مدل نیز از داده‌های تشت تبخیر جمع‌آوری شده توسط سازمان آب منطقه‌ای تهران، استفاده شد.

۲- مواد و روش‌ها

در این بخش ابتدا به معرفی منطقه مورد مطالعه و داده‌های اخذ شده، می‌پردازیم و در ادامه الگوریتم سبال، مرحله به مرحله تشرییح می‌شوود. الگوریتم سبال دارای سه مرحله اساسی است که در آن، ابتدا تابش کلی و رودی به

معادله پنم - مانیث^۱ سازمان غذا و کشاورزی^۲ (FAO)، تبخیر و تعرق واقعی در حوضه آبریز تجن در منطقه کشاورزی دشت ناز ساری را به دست آورند. در این پژوهش از تصاویر سنجنده مادیس (MODIS) استفاده شد. براساس نتایج این تحقیق، تفاوت معنی‌داری بین مقادیر الگوریتم SEBAL و روش پنم - مانیث برای تخمین تبخیر و تعرق ساعتی و روزانه وجود نداشته و همچنین می‌توان تبخیر و تعرق ساعتی و روزانه را به ترتیب با $0/91$ و $0/91$ و $0/91$ و $0/91$ RMSE=۱/۴۹ RMSE=۱/۴۹ RMSE=۱/۴۹ RMSE=۱/۴۹ به دست آورد (رحیمی و همکاران، ۲۰۱۵).

یانگ^۳ و همکاران (۲۰۱۵)، تبخیر و تعرق واقعی در مزروعه‌های ذرت (تابستان) و گندم (زمستان)، در دشت هوانگ هوآبی‌هایی^۴ چین را با استفاده از مدل SEBAL به دست آوردند. تجزیه و تحلیل مکانی، رابطه‌ای خطی را بین تبخیر واقعی، شاخص پوشش گیاهی نرمال شده^۵ (NDVI) و دمای سطح زمین، نشان داد. بر این اساس، رابطه‌ای قوی بین تبخیر و تعرق واقعی و شاخص NDVI در آخرین مرحله رشد گیاه یافت شد که دارای ضریب تبیین بالایی بود. همچنین ضریب تبیین بین دمای سطح زمین و تبخیر و تعرق واقعی، بالاتر از ضریب تبیین بین

تبخیر و تعرق واقعی و شاخص NDVI بود و این رابطه معنی‌دار در فصل‌های رشد گیاه بیشتر نمود پیدا می‌کرد. تبخیر و تعرق واقعی گیاه ذرت در دوره رشد آن در تابستان پیاده‌مندی داری با طول جغرافیایی داشته در حالی که تبخیر و تعرق گیاه گندم در دوره رشد آن در زمستان، با عرض

جغرافیایی رابطه داشت (Yang et al., 2015).

جانا^۶ و همکاران (۲۰۱۶)، با استفاده از مدل سبال و تصاویر لندست^۷، تبخیر و تعرق واقعی را در جلگه دونون^۸ کشور هندوستان، محاسبه کردند. براساس نتایج این تحقیق، تبخیر و تعرق واقعی در منطقه مطالعاتی، مقداری بین $3/3$ تا

1-Penman-Monteith

2- Food and Agriculture Organization

3- Yang

4- Huang-Huai-Hai

5- Normalized Difference Vegetation Index

6- Jana

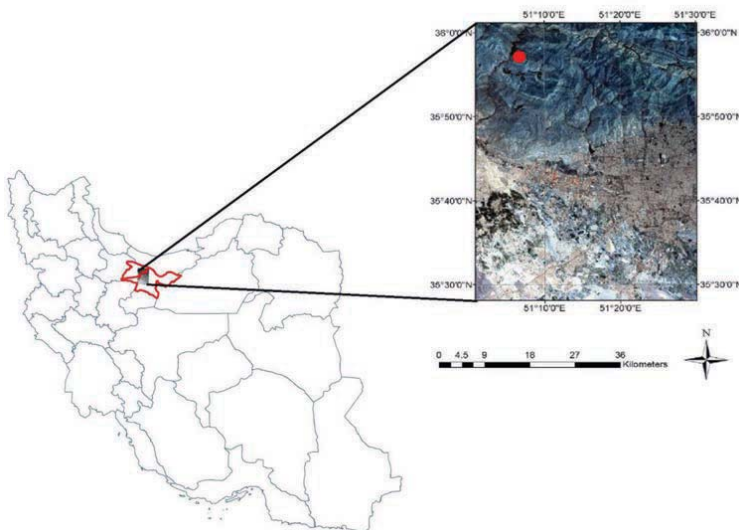
7- Doon Valley

8- Genanu

9- Simplified Surface Energy Balance

10- Operational Simplified Surface Energy Balance

11- Wonji



نگاره ۱: تصویر منطقه مورد
مطالعه

زمین، انرژی جذب شده توسط آب و خاک و انرژی انتقال هم‌رفتی محاسبه شده و با محاسبه تفاوت دو انرژی جذب شده توسط زمین از انرژی کل دریافتی زمین، میزان انرژی مصرفی جهت تبخیر محاسبه می‌شود و در نهایت به مقدار تبخیر انجام شده از سطح زمین، تبدیل می‌گردد.

تبخیر سالانه ۲۱۸۴ میلی متر بوده و دارای اقلیم نیمه خشک شده توسط باد روزانه ۲/۲ متر بر ثانیه و جهت غالب آن شمال غرب به جنوب شرق می‌باشد. میانگین سالیانه جمع ساعات آفتابی در شهرستان کرج ۲۸۹۹ ساعت بدست آمده است.

سد امیرکبیر که محدوده مورد نظر این مطالعه است، بر روی رودخانه کرج با سطح حوضه آبریزی به مساحت ۷۶۴ کیلومتر مربع احداث شده است و بخشی از نیاز آب شرب و کشاورزی استان‌های تهران و البرز را تأمین می‌کند (سایت سازمان هواشناسی ایران (۱۳۹۵)).

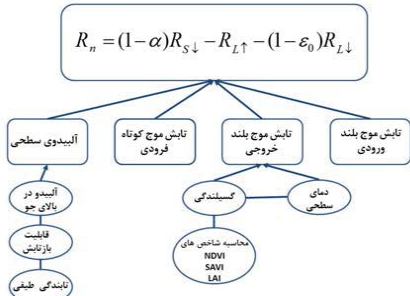
جهت انجام این تحقیق از ۳ تصویر ماهواره‌ای LANDSAT TM مربوط به تاریخ‌های ۱۳۹۰/۳/۸، ۱۳۹۰/۴/۱۸، ۱۳۹۰/۵/۱۰، ۱۳۹۰/۴/۱۸ استفاده شد. تصاویر ماهواره‌ای، از سایت erthexplorer.usgs.gov قابل دانلود هستند. زمان برداشت تصاویر به وقت محلی ساعت ۱۰:۳۰ قبل از ظهر همچنین از داده‌های زمینی به شرح زیر در تحقیق حاضر

محدوده مورد مطالعه بخشی از استان‌های تهران و البرز، شامل مخزن سد امیرکبیر (کرج) و مناطق کشاورزی پایین دست آن بود (نگاره ۱). سد امیرکبیر (کرج) با طول جغرافیایی ۵۱ درجه و ۰۵ دقیقه و ۳۰ ثانیه شرقی و عرض جغرافیایی ۳۵ درجه و ۵۸ دقیقه و ۴۵ ثانیه شمالی، با ارتفاع ۱۲۹۷ متر از سطح دریا، در ۴۸ کیلومتری غرب تهران واقع شده است.

طبق بررسی‌های انجام شده بر روی آمار بلند مدت ایستگاه هوشناسی کرج، شهرستان کرج دارای بارندگی سالیانه $247/3$ میلی متر، میانگین سالیانه دمای هوا $14/4$ درجه سیلسیوس، بیشینه و کمینه مطلق به ترتیب 42 و -20 درجه سیلسیوس، میانگین رطوبت نسبی 53 درصد،

۱-۲- منطقه مورد مطالعه

که در آن α آلبیدوی سطح، ε_0 گسیلندگی^۵ سطح، $R_{S\downarrow}$ تابش فروودی طول موج کوتاه، $R_{L\uparrow}$ تابش فروودی طول موج بلند، $R_{L\downarrow}$ تابش خروجی طول موج بلند است. نگاره ۲ به صورت نموداری فرآیند محاسباتی تابش خالص خورشیدی را نشان می‌دهد.



نگاره ۲: روند محاسبه شار تابش خالص خورشیدی

برای محاسبه $R_S\downarrow$ ، ابتدا تصحیحات رادیومتریک بر روی تصاویر انجام شده و باندهای مختلف تصویر بسته به طول موج آنها به مقادیر بازتابندگی^۶ و تابندگی^۷ تبدیل شدند. برای محاسبه شار خالص، مقادیر تابش طول موج کوتاه فروودی با استفاده از رابطه زیر محاسبه می‌شود:

$$R_{S\downarrow} = G_{SC} \times \cos \theta \times dr \times \tau_{sw} \quad (3)$$

در این رابطه، G_{SC} ثابت خورشیدی برابر با (w/m^2) ، θ زاویه تابش خورشید، dr معکوس میزاندوز فاصله نسبی زمین تا خورشید و τ_{sw} ضریب انتقال اتمسفری است. ضریب انتقال اتمسفری با استفاده از رابطه (۴) محاسبه می‌شود.

$$\tau_{sw} = 0.75 + 2 \times 10^{-5} \times z \quad (4)$$

در این رابطه، z ارتفاع از سطح دریا است. برای محاسبه تابش طول موج بلند خروجی از رابطه (۵) استفاده می‌شود.

5- Emissivity

6- Reflectance

7- Radiance

استفاده شد:

۱- تبخیر- تعرق روزانه اندازه‌گیری شده در جنوب شرقی سد امیرکبیر (محل اندازه‌گیری در نگاره ۱ با نقطه قرمز نشان داده شده است).

۲- تابش خورشیدی اندازه‌گیری شده در ایستگاه هواشناسی شهر کرج

۳- ارتفاع ایستگاه هواشناسی کرج، که این داده‌ها از سازمان

آب منطقه‌ای تهران دریافت شد و

۴- دمای نقطه شبنم، فشار، سرعت باد و دمای هوای اندازه‌گیری شده در طول روز تصویربرداری که از سایت سازمان هواشناسی کشور اخذ شد (سازمان هواشناسی ایران، ۱۳۹۵).

همچنین کلیه پیاده‌سازی‌های این تحقیق در نرم افزارهای

Ref ET ENVIS.1, MATLAB R2012a, Excel2007

صورت پذیرفت.

۳-۲- الگوریتم SEBAL

اساس الگوریتم SEBAL بر مبنای معادله توازن انرژی بنای نهاده شده است (رابطه ۱). در این الگوریتم با محاسبه مقدار شار لحظه‌ای گرمای نهان تبخیر به عنوان باقیمانده رابطه (۱)، برای هر پیکسل تبخیر- تعرق لحظه‌ای و روزانه محاسبه می‌گردد (Allen et al., 2002).

$$ET_{inst} = R_n - G - H \quad (1)$$

در این معادله، λET_{inst} شار گرمای نهان تبخیر^۸ در لحظه تصویربرداری (w/m^2)، R_n مقدار تابش خالص خورشیدی^۹ (w/m^2)، G شار گرمای خاک^{۱۰} (w/m^2) و H شار گرمای محسوس^{۱۱} (w/m^2) است. مقدار تابش خالص خورشیدی از رابطه (۲) قابل محاسبه است.

$$R_n = (1 - \alpha)R_{S\downarrow} - R_{L\uparrow} - (1 - \varepsilon_0)R_{L\downarrow} \quad (2)$$

1- Latent heat flux

2- Net radiation flux at the surface

3- Soil heat flux

4- Sensible heat flux to the air

فصلنامه علمی - پژوهشی اطلاعات جغرافیایی (SEBAL) محاسبه و ارزیابی تغییر در دریاچه پشت سدها ... / ۶۳

باشد، فاکتور L مقداری نزدیکتر به صفر خواهد داشت و در پوشش‌های کاملاً متراکم برابر با صفر خواهد بود و در پوشش‌های کمتر از ۱ نزدیک می‌شود. سپس، هر دو مقدار گسیلنندگی مذکور با توجه به شرایط LAI، با استفاده از معادله‌های تجربی زیر محاسبه می‌شوند: برای $3 < LAI < 3$ از روابط زیر استفاده می‌شود:

$$\varepsilon_{NB} = 0.97 + 0.0033LAI \quad (9)$$

$$\varepsilon_0 = 0.95 + 0.01LAI \quad (10)$$

و برای $LAI > 3$ مقادیر گسیلنندگی $\varepsilon_{NB} = 0.98$ و $\varepsilon_0 = 0.98$ خواهد بود.

همچنین برای آب، تحت شرایط $NDVI < 0$ و $\alpha < 0.47$ مقادیر گسیلنندگی $\varepsilon_{NB} = 0.99$ و $\varepsilon_0 = 0.985$ بوده و برای برف، تحت شرایط $NDVI < 0$ و $\alpha \geq 0.47$ مقادیر گسیلنندگی $\varepsilon_{NB} = 0.99$ و $\varepsilon_0 = 0.985$ خواهد بود. در این روابط NDVI شاخص پوشش گیاهی تفاضلی نرمال شده است که نشان دهنده مقدار پوشش گیاهی سطح زمین بوده و با استفاده از رابطه (۱۱) محاسبه می‌شود.

$$NDVI = \frac{\rho_4 - \rho_3}{\rho_4 + \rho_3} \quad (11)$$

مقدار این شاخص بین ۱ تا ۰ بوده و هر چه منطقه دارای پوشش گیاهی متراکمتر باشد، $NDVI$ ، مقدار مثبت نزدیک به ۱ اختیار کرده، برای مناطق برفی و بری این شاخص مقدار پایین داشته و برای سطوح آبی مقدار منفی خواهد داشت. تابش طول موج بلند فروندی $R_{L\downarrow}$ با استفاده از معادله استفان-بلترمن^۳ (رابطه (۱۲)) به دست می‌آید

(De Lima and Santos, 1995)

$$R_{L\downarrow} = \varepsilon_a \times \sigma \times T_a^4 \quad (12)$$

که در آن، ε_a گسیلنندگی جوی، σ ثابت استفان بولتزمن و T_a دمای هوا نزدیک سطح زمین است.

$$R_{L\uparrow} = \varepsilon_0 \times \sigma \times T_s^4 \quad (5)$$

که در آن، ε_0 گسیلنندگی سطحی در باندهای پهن، σ ثابت استفان بولتزمن برابر با 5.67×10^{-8} و T_s دمای سطح بر حسب کلوین است. جهت محاسبه دمای سطح با استفاده از باند حرارتی از معادله جسم سیاه پلانک تصحیح شده، مطابق با رابطه (۶) استفاده می‌شود.

$$T_s = \frac{K_2}{\ln(\frac{\varepsilon_{NB} K_1}{R_c} + 1)} \quad (6)$$

که در این معادله، R_c تابندگی حرارتی سطحی تصحیح شده، ε_{NB} گسیلنندگی سطحی و $K1$ و $K2$ ضرایب ثابت برای لندست ۵ هستند که به ترتیب برابر با 6.776 و $1260/56$ می‌باشند.

دو نوع گسیلنندگی سطحی در الگوریتم SEBAL مورد استفاده قرار می‌گیرد، گسیلنندگی اول نشان دهنده رفتار سطح برای تابش حرارتی در باندهای باریک (ε_a) و گسیلنندگی دوم نشان دهنده رفتار سطح برای تابش حرارتی در باندهای پهن (ε_0) است. برای محاسبه این مقادیر گسیلنندگی می‌توان از شاخص سطح برگ^۴ (LAI) استفاده نمود. جهت محاسبه LAI می‌توان از معادلات تجربی برمبانی شاخص‌های گیاهی استفاده نمود (رابطه (۷)).

$$LAI = \frac{\ln(\frac{0.69 - SAVI}{0.59})}{0.91} \quad (7)$$

در این رابطه، SAVI شاخص پوشش گیاهی تعديل شده نسبت به اثر خاک^۵، شاخصی است که اثر بازندهای از سطح خاک در مناطق خاکی و بایر را در نظر گرفته و با استفاده از رابطه (۸) قابل محاسبه است:

$$SAVI = \frac{(1+L)(\rho_4 - \rho_3)}{(\rho_4 + \rho_3 + L)} \quad (8)$$

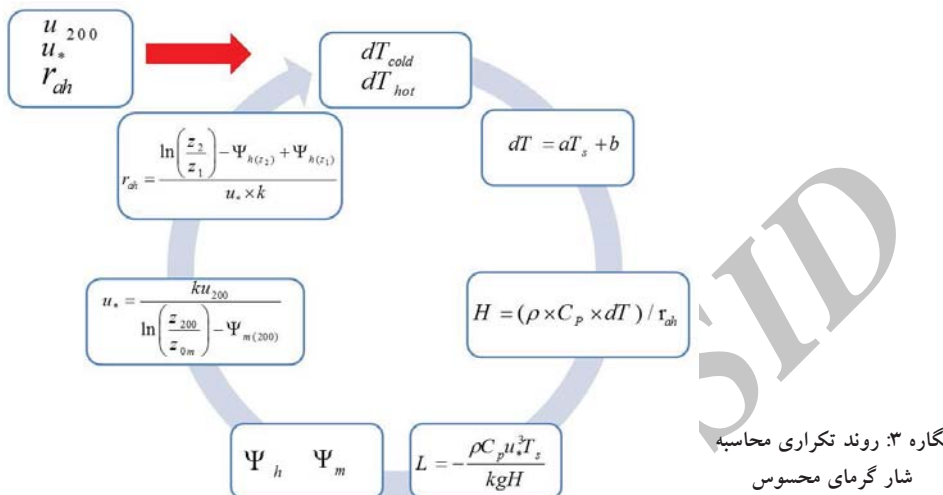
در این رابطه ρ_3 و ρ_4 ، بازندهای طیفی باندهای ۳ و ۴ سنجنده TM هستند. L فاکتور تصحیح اثر خاک است که مقداری بین ۰ تا ۱ است. هر چه پوشش گیاهی متراکمتر

3- Normalized Difference Vegetation Index

4- Stefan-Boltzmann

1- Leaf Area Index

2- Soil Adjusted Vegetation Index



سرد و گرم، تعیین شده، سپس شار گرمای محسوس با روند تکراری تصحیح می‌گردد. تعیین پیکسل سرد و گرم، فرآیندی تقریباً تجربی است. در این تحقیق پیکسل سرد تحت شرایطی شامل، پوشش گیاهی انبوه (LAI) تقریباً بالاتر از (۳)، دمای سطحی پایین، NDVI با مقدار عددی بالا، تعیین شد.

پیکسل گرم نیز تحت شرایط پوشش گیاهی کم (LAI) تقریباً کمتر از (۳)، دمای سطحی بالا و NDVI با مقدار عددی پایین انتخاب گردید. نگاره ۳ نشان دهنده روند طی شده در محاسبه شار گرمای محسوس است.

پس از طی تمام مراحل و درنهایت محاسبه رابطه (۱)، با استفاده از رابطه (۱۵) تبخیر-تعرق لحظه‌ای (برای لحظه عبور ماهواره) محاسبه می‌شود.

$$ET_{inst} = 3600 \frac{\lambda ET}{\lambda} \quad (15)$$

با استفاده از تبخیر لحظه‌ای، ضریب ETrF طبق رابطه (۱۶) به دست می‌آید.

$$ETrF = \frac{ET_{inst}}{ET_r} \quad (16)$$

که در آن، ET_r تبخیر-تعرق مرجع است. این متغیر

شار گرمایی خاک G میزان ذخیره سازی گرما در خاک و گیاه، در اثر انتقال می‌باشد. اندازه گیری مستقیم این فاکتور به وسیله سنجش از دور امکان‌پذیر نبوده و این متغیر با استفاده از رابطه بین G / R_n , NDVI, T_s و آلبیدو قابل محاسبه است (Bastiaanssen, 2000)

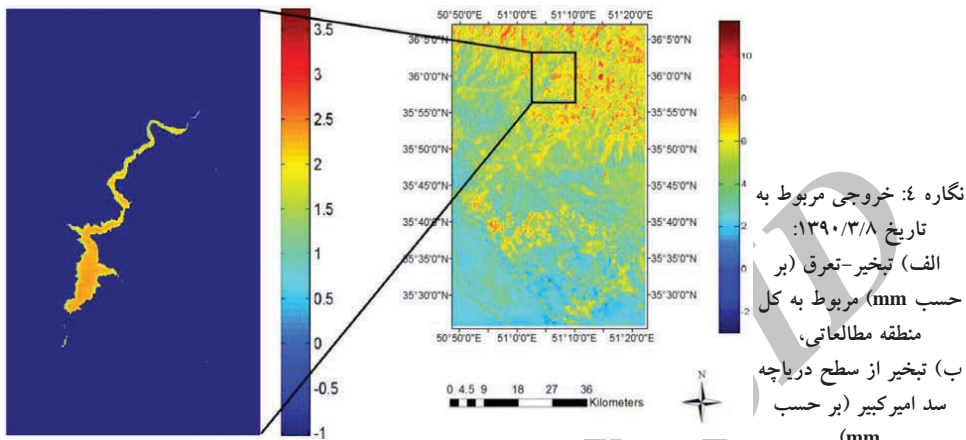
$$G / R_n = T_s / \alpha (0.0038\alpha + 0.0074\alpha^2) (1 - 0.98NDVI^4) \quad (13)$$

شار گرمای محسوس H برابر با مقدار گرمای منتقل شده به هوا، به دلیل اختلاف دما، به صورت همرفت است. پیچیده‌ترین قسمت در الگوریتم SEBAL، تعیین شار گرمای محسوس است که به وسیله رابطه (۱۴) محاسبه می‌گردد.

$$H = (\rho \times C_p \times dT) / r_{ah} \quad (14)$$

در این رابطه، ρ چگالی هوا، C_p گرمای ویژه هوا برابر با k^{-1} ، dT اختلاف دما بر حسب کلوینین، r_{ah} و $Z_1 - Z_2$ مقاومت آئرودینامیک برای انتقال گرما است. حل معادله شار گرمای محسوس به دلیل وجود دو مجھول dT و r_{ah} کمی پیچیده و مشکل است. لذا در این الگوریتم ابتدا دو پیکسل ابتدایی با نام پیکسل

فصلنامه علمی - پژوهشی اطلاعات جغرافیایی (ESRI)
محاسبه و ارزیابی تبخیر در دریاچه پشت سدها ... / ۶۵



که در آن N تعداد مشاهدات، x_i ها مقادیر اندازه‌گیری شده و x_i ها مقادیر برآورده شده، هستند.

با استفاده از نرم‌افزار Ref ET که در دانشگاه آیدaho¹ به همین منظور توسعه داده شده است، محاسبه شد. نرم‌افزار REF-ET برای محاسبه تبخیر-تعرق گیاه مرجع به روش‌های مختلف کاربرد دارد. مزیت این نرم افزار، محاسبه تبخیر-تعرق به روش‌های مختلف مثل روش پنمن مانیث، پرسنلی تبلور، تست تبخیر و انواع روش‌های دیگر به اختیار کاربر است. برای بدست آوردن تبخیر-تعرق مراجع در نرم‌افزار REF ET نیاز به داده‌های ساعتی تابش خورشید است که به دلیل عدم اندازه‌گیری این داده، با استفاده از مدل آنگستروم (Duffie and Beckman, 2013) و ساعت‌آفتابی روزانه، در نرم‌افزار Excel 2007 محاسبه شد. در نهایت برای محاسبه تبخیر-تعرق روزانه از رابطه (۱۷) استفاده شد.

$$ET_{24} = ET_{rF} \times ET_{r-24} \quad (17)$$

که در آن ET_{r-24} برابر با مجموع ET_r برای یک روز است. جهت محاسبه خطای مقدادیر برآورده شده با مقدادیر اندازه‌گیری شده، از خطای جذر میانگین مربعات² (RMSE) مطابق با رابطه زیر استفاده شد.

$$RMSE = \sqrt{\frac{1}{N} \sum_{i=1}^N (x_i - \hat{x}_i)^2} \quad (18)$$

1- Idaho

2- Root Mean Square Error

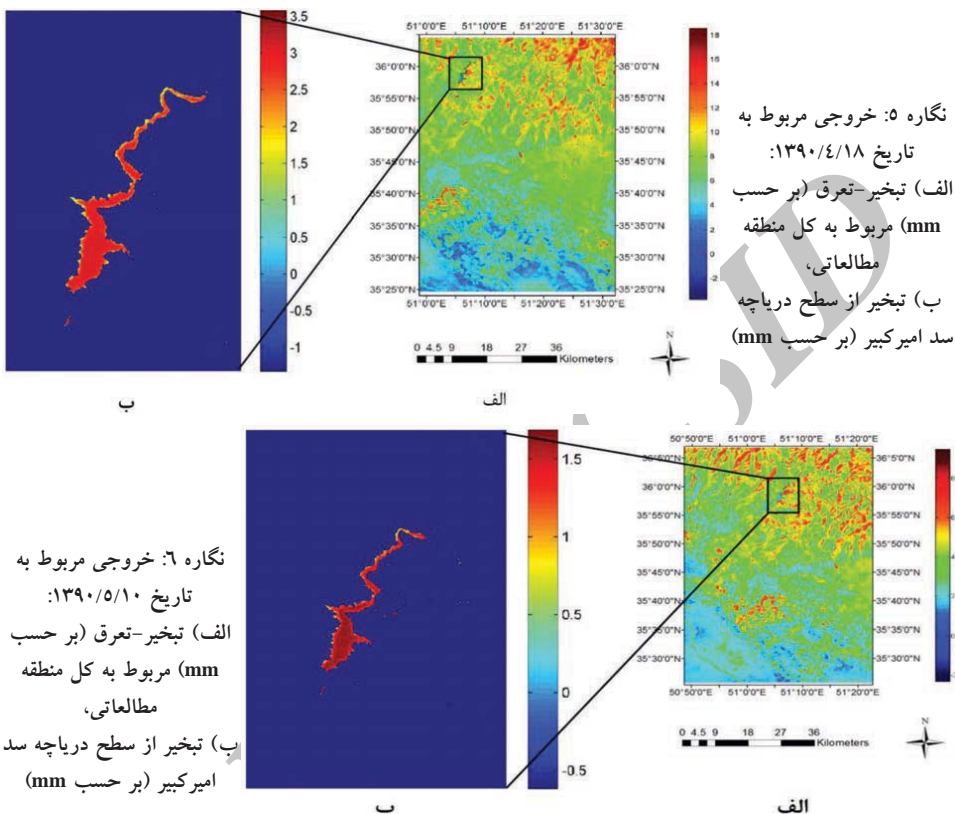
همانگونه که در بخش قبل توضیح داده شد، الگوریتم SEBAL از پیش‌های مختلف تشکیل شده، ساخته شده و روابط مختلف با استفاده از تصاویر ماهواره‌ای و در نرم‌افزار MATLAB محاسبه شده و نتایج هر بخش به تغییک مورد بررسی قرار گرفت.

جدول ۱ نشان‌دهنده خلاصه نتایج به دست آمده برای شاخص NDVI در هر سه تصویر است.

جدول ۱: آمار مربوط به شاخص NDVI

میانگین	حداکثر	حداقل	تاریخ
۰/۱۹۹۷	۰/۷۸۶۸	-۰/۳۸۷۳	۱۳۹۰/۳/۸
۰/۲۰۰۵	۰/۷۷۲۳	-۰/۳۱۲۷	۱۳۹۰/۴/۱۸
۰/۱۵۶۹	۰/۷۹۳۷	-۰/۴۷۹۸	۱۳۹۰/۵/۱۰

مقدار میانگین NDVI مربوط به تاریخ ۱۳۹۰/۴/۱۸ با مقدار ۰/۲۰۰۵ از دو تاریخ دیگر بیشتر است و دلیل آن وجود محصولات بهاره و پاییزه و مرطع است، در دو تاریخ دیگر، یا محصولات هنوز به رشد کافی نرسیده‌اند و یا برداشت محصولات و از بین رفتن مرطع آغاز شده‌اند.



محاسبه گردید که نتایج بر حسب میلیمتر در نگاره‌های ۴ تا ۶ نمایش داده شده است.

همانطور که در نگاره‌های ۴ تا ۶ ملاحظه می‌شود، مناطق دارای پوشش گیاهی مقدار تبخیر-تعرق بیشتری را نشان داده و مناطق بدون پوشش گیاهی و مناطق شهری دارای مقادیر تبخیر کمتری هستند. همچنین، دامنه‌ها و قله‌های منطقه با توجه به تاریخ تصویربرداری و همینطور وضیعت پوشش گیاهی منطقه، دارای پوشش گیاهی بوده و مقادیر تبخیر و تعرق منطقی می‌باشند. مناطق پایین دست سد هم دارای دو منطقه متقابل خاکی بایر و کشاورزی است که در مناطق کشاورزی و گیاهی، تبخیر و تعرق بالا بوده، اما در مناطق با پوشش خاک لخت تبخیر کمتر است. علاوه

در جدول ۲، نتایج مربوط به دمای سطحی منطقه مورد مطالعه، ارائه شده است. میانگین دما در تاریخ ۱۳۹۰/۵/۱۰ از دو روز دیگر بیشتر است که با توجه به بازه زمانی تصاویر، قابل قبول است.

جدول ۲: آمار مربوط به دمای سطحی بر حسب کلوین

تاریخ	حداقل دما	حداکثر دما	میانگین دما
۱۳۹۰/۳/۸	۲۷۳	۳۲۴	۲۹۸/۵
۱۳۹۰/۴/۱۸	۲۸۱/۵۵	۳۳۲/۰۱	۳۰۶/۷۸
۱۳۹۰/۵/۱۰	۲۹۴	۳۳۰/۶	۳۱۲/۳

پس از اطمینان نسبی از درستی نتایج به دست آمده از پارامترهای مورد استفاده در تعیین تبخیر-تعرق، نتایج به دست آمده از الگوریتم SEBAL برای تصاویر منتخب

فصلنامه علمی - پژوهشی اطلاعات جغرافیایی (SEBAL)
محاسبه و ارزیابی تبخر در دریاچه پشت سدها ... / ۶۷

همچنین این مقادیر با نتایج به دست آمده توسط Sun و همکاران (۲۰۱۱) که مقدار متوسط تبخر از سطح تالاب دریاچه نانسی^۱ را با استفاده از مدل SEBAL ۷۷۴ میلیمتر در روز برآورد کرده بود همخوانی دارد. علاوه بر این، Li و همکاران (۲۰۱۰) مقدار تبخر از سطح پهنه‌های آبی را بیش از ۴ میلیمتر برآورد نمودند که با نتایج این تحقیق همخوانی دارد. با توجه به اینکه اندازه‌گیری تبخر از سطح دریاچه‌ها و مخازن سدها، کاری زمانی و هزینه‌بر است، می‌توان با استفاده از نتایج SEBAL، تبخر از سطح دریاچه برای بازه زمانی یک روزه را محاسبه کرد. برای محاسبه مقدار تبخر از کل سطح مخزن سد، تبخر-تعرق روزانه با استفاده از تبخر-تعرق مرجع که در نرم افزار ET Ref و بر اساس روش پمن-مانتیث به دست آمد، محاسبه گردید و با کمک آن و معادله (۱۷) مقدار تبخر روزانه از سطح دریاچه سد امیرکبیر (کرج) محاسبه گردید. پس از این مرحله با جداسازی سطح مخزن سد از تصویر، مقدار کل تبخر روزانه از سطح مخزن محاسبه گردید (جدول ۴).

جدول ۴: نتایج مربوط به برآورد تبخر از کل سطح دریاچه سد امیرکبیر (کرج)

تبخر حاصل از کل سطح مخزن سد (متر بر روز)	تاریخ
۸/۰۳۷	۱۳۹۰/۳/۸
۱۰/۶۴۳	۱۳۹۰/۴/۱۸
۵/۴۳۵	۱۳۹۰/۵/۱۰

همانطور که در جدول ۴ ملاحظه می‌شود، مقدار تبخر به دست آمده در سه تاریخ مورد مطالعه مقدار قابل توجهی بوده که نشان دهنده هدر رفت قابل توجه آب از طریق تبخر در این مناطق است.

اغلب داده‌های مورد نیاز در این پژوهش از سازمان آب منطقه‌ای تهران و سازمان هواشناسی کرج اخذ گردید و این سازمان‌ها تجهیزات ابزار دقیق جهت اندازه‌گیری داده‌های همچون تابش خورشیدی ساعتی ندارند. به همین دلیل در

بر این، محدوده‌های آبی به دلیل آنکه در آن‌ها فقط تبخر اتفاق افتاده و تعرق ندارند، مقادیر کمتری نسبت به محیط اطراف دارند. به همین منظور در نگاره‌ها با اعمال یک فیلتر محدوده دریاچه سد امیرکبیر از سایر مناطق جدا شده و در هر سه نگاره به صورت بزرگنمایی شده در سمت چپ نمایش داده شده است.

همانطور که در نگاره‌ها مشخص است، مقدار تبخر در نواحی نزدیک به ساحل کمتر بوده و در نواحی عمیق‌تر مقدار تبخر بیشتر از ساحل، اما متغیر است. این مورد به دلیل تأثیر تابع باد و تأثیر مستقیم آن بر مقدار تبخر از سطح، اتفاق می‌افتد، بطوریکه در برخی تحقیقات مانند نتایج به دست آمده در این تحقیق تبخر در نواحی عمیق‌تر بیشتر بوده و در برخی تحقیقات تبخر در مناطق ساحلی مقدار بیشتری داشته است. نتایج مطالعات دیگر هم نشان دهنده یکسان نبودن تغییرات میزان تبخر از ساحل به مرکز دریاچه‌ها است. همچنین، این مورد نیز در سایر تحقیقات (Bastiaanssen et al., 1998) نیز اثبات شده است.

در ادامه، مقدار تبخر برای پیکسل معادل با داده‌های زمینی اندازه‌گیری شده در نزدیکی دریاچه سد امیرکبیر با داده‌های لایسیمتری زمینی مقایسه شد. جدول ۳ شامل تبخر-تعرق به دست آمده از SEBAL برای ایستگاه اندازه‌گیری زمینی و مقدار اندازه‌گیری شده توسط لایسیمتر SEBAL است. همانطور که مشخص می‌باشد، تفاوت نتایج SEBAL و لایسیمتر کمتر از ۰/۵ میلیمتر در روز است. همچنین، مقدار RMSE در این سه منطقه ۰/۲۷ میلیمتر محاسبه گردید که مقدار قابل قبولی است.

جدول ۳: آمار مقایسه‌ای تبخر-تعرق نقطه‌ای ماهواره با داده‌های زمینی بر حسب میلیمتر بر روز

تاریخ	الگوریتم	نفض مطلق	تست تبخر
۱۳۹۰/۳/۸	SEBAL	۸/۹	۸/۷
۱۳۹۰/۴/۱۸		۱۱/۲	۱۰/۹
۱۳۹۰/۵/۱۰		۸/۴	۸/۷

پژوهش، تبخیر برآورد شده از کل سطح دریاچه سد امیرکبیر برای روزهای مورد مطالعه در ماه خرداد ۱۳۹۷ در ماه تیر ۱۳۹۶ و در ماه مرداد ۵/۴۳۵ متر در روز به دست آمد که مقدار نسبتاً قابل توجهی بود و لزوم در نظر گرفتن برنامه های برای جلوگیری از هادر رفت آب از این طریق را اثبات نماید. چنین نتایجی می تواند در مطالعات جامع برنامه ریزی مدیریت منابع آب به کار رفته و معیار دقیق تر از هدر رفت آب از طریق تبخیر در سطح دریاچه های آب شیرین ارائه نماید.

منابع و مأخذ

۱. ابراهیمی، ح، و یزدانی، و. (۱۳۹۲). محاسبه تبخیر و تعرق فضای سبز به روش سبال (مطالعه موردی: پارک ملت مشهد). نشریه پژوهش های حفاظت آب و خاک، (۲۰)، ۱۳۳-۱۵۱.

۲. پورمحمدی، س، دستورانی، م، مختاری، م، ح، و رحیمیان، م، ح. (۱۳۸۹). تعیین و پنهان بندی تبخیر و تعرق واقعی توسط تکنیک سنجش از دور و الگوریتم سبال (مطالعه موردی: حوضه آبخیز منشاد در استان یزد). نشریه آبخیزداری ایران، (۴)، (۱۳)، ۲۲-۲۳.

۳. ثابی نژاد، ح، نوری، س، و هاشمی نیا، م. (۱۳۹۰). برآورد تبخیر و تعرق واقعی با استفاده از تصاویر ماهواره ای در منطقه مشهد. نشریه آب و خاک، (۲۵)، (۳)، ۵۴۰-۵۴۷. صفوی، ح، ر. (۱۳۹۳). هیدرولوژی مهندسی. انتشارات ارکان دانش، چاپ چهارم (اصفهان)، ۷۲۴-۱.

۴. کاویانی، م، ع. کاویانی، and، م، طاهری. کاربرد الگوریتم SEBAL در تخمین تبخیر و تعرق واقعی در دشت قزوین و مقایسه نتایج آن با داده های لایسیمتر، in دوازدهمین همایش سراسری آبیاری و کاهش تبخیر، ۱۳۹۲، دانشگاه شهرد باهنر کرمان.

۵. کریمی، ع، مسعودی، س، لیاقت، ع، و فرهادی بانسوله، ب. (۱۳۹۰). برآورد تبخیر و تعرق واقعی در مقیاس منطقه ای با استفاده از تصاویر لندست. اولین کنفرانس ملی هواشناسی و مدیریت آب کشاورزی.

تحقیق، تابش خورشیدی با استفاده از ساعت آفتابی و روابط ریاضی محاسبه شد. بدین جهت پیش بینی می شود که اندازکی با مقدار واقعی تابش متفاوت بوده و موجب عدم قطعیت هایی در نتایج نهایی شود. علاوه بر این، تعیین پیکسل سرد و گرم SEBAL از مهم ترین و حساس ترین قسمت های الگوریتم است، با توجه به اینکه تعیین این دو پیکسل فرآیندی کاملاً تجربی بوده، لذا می تواند موجب عدم قطعیت هایی در فرآیند اجرای الگوریتم و در نهایت در نتایج تحقیق شود. از دیگر منابع عدم قطعیت در این تحقیق می تواند خوانش اندازه گیری تبخیر توسط لایسیمتر در دوره های ۲۴ ساعته باشد که به دلیل فاصله ۲۴ ساعته، دقت اندازه گیری کاهش می یابد. به نظر می رسد کاهش فاصله های بین هر دو خوانش متوالی لایسیمتر، دقت اندازه گیری ها را افزایش دهد.

۴- نتیجه گیری

هدف تحقیق حاضر، برآورد میزان تبخیر از سطح دریاچه سد امیرکبیر (کرج) با استفاده از الگوریتم SEBAL و تصاویر ماهواره ای Landsat بود. جهت انجام پیاده سازی ها، تصاویر مربوط به تاریخ های ۱۳۹۰/۰۳/۸، ۱۳۹۰/۰۴/۱۸، ۱۳۹۰/۰۵/۱۰، ۱۳۹۰/۰۵/۱۱، ۱۳۹۰/۰۶/۱۲، ۱۳۹۰/۰۷/۱۳، ۱۳۹۰/۰۸/۱۴، ۱۳۹۰/۰۹/۱۵، ۱۳۹۰/۱۰/۱۶، ۱۳۹۰/۱۱/۱۷، ۱۳۹۰/۱۲/۱۸، ۱۳۹۰/۱۳/۱۹، ۱۳۹۰/۱۴/۲۰، ۱۳۹۰/۱۵/۲۱، ۱۳۹۰/۱۶/۲۲، ۱۳۹۰/۱۷/۲۳، ۱۳۹۰/۱۸/۲۴، ۱۳۹۰/۱۹/۲۵، ۱۳۹۰/۲۰/۲۶، ۱۳۹۰/۲۱/۲۷، ۱۳۹۰/۲۲/۲۸، ۱۳۹۰/۲۳/۲۹، ۱۳۹۰/۲۴/۳۰، ۱۳۹۰/۲۵/۳۱، ۱۳۹۰/۲۶/۳۲، ۱۳۹۰/۲۷/۳۳، ۱۳۹۰/۲۸/۳۴، ۱۳۹۰/۲۹/۳۵، ۱۳۹۰/۳۰/۳۶، ۱۳۹۰/۳۱/۳۷، ۱۳۹۰/۳۲/۳۸، ۱۳۹۰/۳۳/۳۹، ۱۳۹۰/۳۴/۴۰، ۱۳۹۰/۳۵/۴۱، ۱۳۹۰/۳۶/۴۲، ۱۳۹۰/۳۷/۴۳، ۱۳۹۰/۳۸/۴۴، ۱۳۹۰/۳۹/۴۵، ۱۳۹۰/۴۰/۴۶، ۱۳۹۰/۴۱/۴۷، ۱۳۹۰/۴۲/۴۸، ۱۳۹۰/۴۳/۴۹، ۱۳۹۰/۴۴/۵۰، ۱۳۹۰/۴۵/۵۱، ۱۳۹۰/۴۶/۵۲، ۱۳۹۰/۴۷/۵۳، ۱۳۹۰/۴۸/۵۴، ۱۳۹۰/۴۹/۵۵، ۱۳۹۰/۵۰/۵۶، ۱۳۹۰/۵۱/۵۷، ۱۳۹۰/۵۲/۵۸، ۱۳۹۰/۵۳/۵۹، ۱۳۹۰/۵۴/۶۰، ۱۳۹۰/۵۵/۶۱، ۱۳۹۰/۵۶/۶۲، ۱۳۹۰/۵۷/۶۳، ۱۳۹۰/۵۸/۶۴، ۱۳۹۰/۵۹/۶۵، ۱۳۹۰/۶۰/۶۶، ۱۳۹۰/۶۱/۶۷، ۱۳۹۰/۶۲/۶۸، ۱۳۹۰/۶۳/۶۹، ۱۳۹۰/۶۴/۷۰، ۱۳۹۰/۶۵/۷۱، ۱۳۹۰/۶۶/۷۲، ۱۳۹۰/۶۷/۷۳، ۱۳۹۰/۶۸/۷۴، ۱۳۹۰/۶۹/۷۵، ۱۳۹۰/۷۰/۷۶، ۱۳۹۰/۷۱/۷۷، ۱۳۹۰/۷۲/۷۸، ۱۳۹۰/۷۳/۷۹، ۱۳۹۰/۷۴/۸۰، ۱۳۹۰/۷۵/۸۱، ۱۳۹۰/۷۶/۸۲، ۱۳۹۰/۷۷/۸۳، ۱۳۹۰/۷۸/۸۴، ۱۳۹۰/۷۹/۸۵، ۱۳۹۰/۸۰/۸۶، ۱۳۹۰/۸۱/۸۷، ۱۳۹۰/۸۲/۸۸، ۱۳۹۰/۸۳/۸۹، ۱۳۹۰/۸۴/۹۰، ۱۳۹۰/۸۵/۹۱، ۱۳۹۰/۸۶/۹۲، ۱۳۹۰/۸۷/۹۳، ۱۳۹۰/۸۸/۹۴، ۱۳۹۰/۸۹/۹۵، ۱۳۹۰/۹۰/۹۶، ۱۳۹۰/۹۱/۹۷، ۱۳۹۰/۹۲/۹۸، ۱۳۹۰/۹۳/۹۹، ۱۳۹۰/۹۴/۱۰۰، ۱۳۹۰/۹۵/۱۰۱، ۱۳۹۰/۹۶/۱۰۲، ۱۳۹۰/۹۷/۱۰۳، ۱۳۹۰/۹۸/۱۰۴، ۱۳۹۰/۹۹/۱۰۵، ۱۳۹۰/۱۰۰/۱۰۶، ۱۳۹۰/۱۰۱/۱۰۷، ۱۳۹۰/۱۰۲/۱۰۸، ۱۳۹۰/۱۰۳/۱۰۹، ۱۳۹۰/۱۰۴/۱۱۰، ۱۳۹۰/۱۰۵/۱۱۱، ۱۳۹۰/۱۰۶/۱۱۲، ۱۳۹۰/۱۰۷/۱۱۳، ۱۳۹۰/۱۰۸/۱۱۴، ۱۳۹۰/۱۰۹/۱۱۵، ۱۳۹۰/۱۱۰/۱۱۶، ۱۳۹۰/۱۱۱/۱۱۷، ۱۳۹۰/۱۱۲/۱۱۸، ۱۳۹۰/۱۱۳/۱۱۹، ۱۳۹۰/۱۱۴/۱۲۰، ۱۳۹۰/۱۱۵/۱۲۱، ۱۳۹۰/۱۱۶/۱۲۲، ۱۳۹۰/۱۱۷/۱۲۳، ۱۳۹۰/۱۱۸/۱۲۴، ۱۳۹۰/۱۱۹/۱۲۵، ۱۳۹۰/۱۲۰/۱۲۶، ۱۳۹۰/۱۲۱/۱۲۷، ۱۳۹۰/۱۲۲/۱۲۸، ۱۳۹۰/۱۲۳/۱۲۹، ۱۳۹۰/۱۲۴/۱۳۰، ۱۳۹۰/۱۲۵/۱۳۱، ۱۳۹۰/۱۲۶/۱۳۲، ۱۳۹۰/۱۲۷/۱۳۳، ۱۳۹۰/۱۲۸/۱۳۴، ۱۳۹۰/۱۲۹/۱۳۵، ۱۳۹۰/۱۳۰/۱۳۶، ۱۳۹۰/۱۳۱/۱۳۷، ۱۳۹۰/۱۳۲/۱۳۸، ۱۳۹۰/۱۳۳/۱۳۹، ۱۳۹۰/۱۳۴/۱۴۰، ۱۳۹۰/۱۳۵/۱۴۱، ۱۳۹۰/۱۳۶/۱۴۲، ۱۳۹۰/۱۳۷/۱۴۳، ۱۳۹۰/۱۳۸/۱۴۴، ۱۳۹۰/۱۳۹/۱۴۵، ۱۳۹۰/۱۴۰/۱۴۶، ۱۳۹۰/۱۴۱/۱۴۷، ۱۳۹۰/۱۴۲/۱۴۸، ۱۳۹۰/۱۴۳/۱۴۹، ۱۳۹۰/۱۴۴/۱۵۰، ۱۳۹۰/۱۴۵/۱۵۱، ۱۳۹۰/۱۴۶/۱۵۲، ۱۳۹۰/۱۴۷/۱۵۳، ۱۳۹۰/۱۴۸/۱۵۴، ۱۳۹۰/۱۴۹/۱۵۵، ۱۳۹۰/۱۵۰/۱۵۶، ۱۳۹۰/۱۵۱/۱۵۷، ۱۳۹۰/۱۵۲/۱۵۸، ۱۳۹۰/۱۵۳/۱۵۹، ۱۳۹۰/۱۵۴/۱۶۰، ۱۳۹۰/۱۵۵/۱۶۱، ۱۳۹۰/۱۵۶/۱۶۲، ۱۳۹۰/۱۵۷/۱۶۳، ۱۳۹۰/۱۵۸/۱۶۴، ۱۳۹۰/۱۵۹/۱۶۵، ۱۳۹۰/۱۶۰/۱۶۶، ۱۳۹۰/۱۶۱/۱۶۷، ۱۳۹۰/۱۶۲/۱۶۸، ۱۳۹۰/۱۶۳/۱۶۹، ۱۳۹۰/۱۶۴/۱۷۰، ۱۳۹۰/۱۶۵/۱۷۱، ۱۳۹۰/۱۶۶/۱۷۲، ۱۳۹۰/۱۶۷/۱۷۳، ۱۳۹۰/۱۶۸/۱۷۴، ۱۳۹۰/۱۶۹/۱۷۵، ۱۳۹۰/۱۷۰/۱۷۶، ۱۳۹۰/۱۷۱/۱۷۷، ۱۳۹۰/۱۷۲/۱۷۸، ۱۳۹۰/۱۷۳/۱۷۹، ۱۳۹۰/۱۷۴/۱۸۰، ۱۳۹۰/۱۷۵/۱۸۱، ۱۳۹۰/۱۷۶/۱۸۲، ۱۳۹۰/۱۷۷/۱۸۳، ۱۳۹۰/۱۷۸/۱۸۴، ۱۳۹۰/۱۷۹/۱۸۵، ۱۳۹۰/۱۸۰/۱۸۶، ۱۳۹۰/۱۸۱/۱۸۷، ۱۳۹۰/۱۸۲/۱۸۸، ۱۳۹۰/۱۸۳/۱۸۹، ۱۳۹۰/۱۸۴/۱۹۰، ۱۳۹۰/۱۸۵/۱۹۱، ۱۳۹۰/۱۸۶/۱۹۲، ۱۳۹۰/۱۸۷/۱۹۳، ۱۳۹۰/۱۸۸/۱۹۴، ۱۳۹۰/۱۸۹/۱۹۵، ۱۳۹۰/۱۹۰/۱۹۶، ۱۳۹۰/۱۹۱/۱۹۷، ۱۳۹۰/۱۹۲/۱۹۸، ۱۳۹۰/۱۹۳/۱۹۹، ۱۳۹۰/۱۹۴/۲۰۰، ۱۳۹۰/۱۹۵/۲۰۱، ۱۳۹۰/۱۹۶/۲۰۲، ۱۳۹۰/۱۹۷/۲۰۳، ۱۳۹۰/۱۹۸/۲۰۴، ۱۳۹۰/۱۹۹/۲۰۵، ۱۳۹۰/۲۰۰/۲۰۶، ۱۳۹۰/۲۰۱/۲۰۷، ۱۳۹۰/۲۰۲/۲۰۸، ۱۳۹۰/۲۰۳/۲۰۹، ۱۳۹۰/۲۰۴/۲۱۰، ۱۳۹۰/۲۰۵/۲۱۱، ۱۳۹۰/۲۰۶/۲۱۲، ۱۳۹۰/۲۰۷/۲۱۳، ۱۳۹۰/۲۰۸/۲۱۴، ۱۳۹۰/۲۰۹/۲۱۵، ۱۳۹۰/۲۱۰/۲۱۶، ۱۳۹۰/۲۱۱/۲۱۷، ۱۳۹۰/۲۱۲/۲۱۸، ۱۳۹۰/۲۱۳/۲۱۹، ۱۳۹۰/۲۱۴/۲۲۰، ۱۳۹۰/۲۱۵/۲۲۱، ۱۳۹۰/۲۱۶/۲۲۲، ۱۳۹۰/۲۱۷/۲۲۳، ۱۳۹۰/۲۱۸/۲۲۴، ۱۳۹۰/۲۱۹/۲۲۵، ۱۳۹۰/۲۲۰/۲۲۶، ۱۳۹۰/۲۲۱/۲۲۷، ۱۳۹۰/۲۲۲/۲۲۸، ۱۳۹۰/۲۲۳/۲۲۹، ۱۳۹۰/۲۲۴/۲۳۰، ۱۳۹۰/۲۲۵/۲۳۱، ۱۳۹۰/۲۲۶/۲۳۲، ۱۳۹۰/۲۲۷/۲۳۳، ۱۳۹۰/۲۲۸/۲۳۴، ۱۳۹۰/۲۲۹/۲۳۵، ۱۳۹۰/۲۳۰/۲۳۶، ۱۳۹۰/۲۳۱/۲۳۷، ۱۳۹۰/۲۳۲/۲۳۸، ۱۳۹۰/۲۳۳/۲۳۹، ۱۳۹۰/۲۳۴/۲۴۰، ۱۳۹۰/۲۳۵/۲۴۱، ۱۳۹۰/۲۳۶/۲۴۲، ۱۳۹۰/۲۳۷/۲۴۳، ۱۳۹۰/۲۳۸/۲۴۴، ۱۳۹۰/۲۳۹/۲۴۵، ۱۳۹۰/۲۴۰/۲۴۶، ۱۳۹۰/۲۴۱/۲۴۷، ۱۳۹۰/۲۴۲/۲۴۸، ۱۳۹۰/۲۴۳/۲۴۹، ۱۳۹۰/۲۴۴/۲۵۰، ۱۳۹۰/۲۴۵/۲۵۱، ۱۳۹۰/۲۴۶/۲۵۲، ۱۳۹۰/۲۴۷/۲۵۳، ۱۳۹۰/۲۴۸/۲۵۴، ۱۳۹۰/۲۴۹/۲۵۵، ۱۳۹۰/۲۵۰/۲۵۶، ۱۳۹۰/۲۵۱/۲۵۷، ۱۳۹۰/۲۵۲/۲۵۸، ۱۳۹۰/۲۵۳/۲۵۹، ۱۳۹۰/۲۵۴/۲۶۰، ۱۳۹۰/۲۵۵/۲۶۱، ۱۳۹۰/۲۵۶/۲۶۲، ۱۳۹۰/۲۵۷/۲۶۳، ۱۳۹۰/۲۵۸/۲۶۴، ۱۳۹۰/۲۵۹/۲۶۵، ۱۳۹۰/۲۶۰/۲۶۶، ۱۳۹۰/۲۶۱/۲۶۷، ۱۳۹۰/۲۶۲/۲۶۸، ۱۳۹۰/۲۶۳/۲۶۹، ۱۳۹۰/۲۶۴/۲۷۰، ۱۳۹۰/۲۶۵/۲۷۱، ۱۳۹۰/۲۶۶/۲۷۲، ۱۳۹۰/۲۶۷/۲۷۳، ۱۳۹۰/۲۶۸/۲۷۴، ۱۳۹۰/۲۶۹/۲۷۵، ۱۳۹۰/۲۷۰/۲۷۶، ۱۳۹۰/۲۷۱/۲۷۷، ۱۳۹۰/۲۷۲/۲۷۸، ۱۳۹۰/۲۷۳/۲۷۹، ۱۳۹۰/۲۷۴/۲۸۰، ۱۳۹۰/۲۷۵/۲۸۱، ۱۳۹۰/۲۷۶/۲۸۲، ۱۳۹۰/۲۷۷/۲۸۳، ۱۳۹۰/۲۷۸/۲۸۴، ۱۳۹۰/۲۷۹/۲۸۵، ۱۳۹۰/۲۸۰/۲۸۶، ۱۳۹۰/۲۸۱/۲۸۷، ۱۳۹۰/۲۸۲/۲۸۸، ۱۳۹۰/۲۸۳/۲۸۹، ۱۳۹۰/۲۸۴/۲۹۰، ۱۳۹۰/۲۸۵/۲۹۱، ۱۳۹۰/۲۸۶/۲۹۲، ۱۳۹۰/۲۸۷/۲۹۳، ۱۳۹۰/۲۸۸/۲۹۴، ۱۳۹۰/۲۸۹/۲۹۵، ۱۳۹۰/۲۹۰/۲۹۶، ۱۳۹۰/۲۹۱/۲۹۷، ۱۳۹۰/۲۹۲/۲۹۸، ۱۳۹۰/۲۹۳/۲۹۹، ۱۳۹۰/۲۹۴/۳۰۰، ۱۳۹۰/۲۹۵/۳۰۱، ۱۳۹۰/۲۹۶/۳۰۲، ۱۳۹۰/۲۹۷/۳۰۳، ۱۳۹۰/۲۹۸/۳۰۴، ۱۳۹۰/۲۹۹/۳۰۵، ۱۳۹۰/۳۰۰/۳۰۶، ۱۳۹۰/۳۰۱/۳۰۷، ۱۳۹۰/۳۰۲/۳۰۸، ۱۳۹۰/۳۰۳/۳۰۹، ۱۳۹۰/۳۰۴/۳۱۰، ۱۳۹۰/۳۰۵/۳۱۱، ۱۳۹۰/۳۰۶/۳۱۲، ۱۳۹۰/۳۰۷/۳۱۳، ۱۳۹۰/۳۰۸/۳۱۴، ۱۳۹۰/۳۰۹/۳۱۵، ۱۳۹۰/۳۱۰/۳۱۶، ۱۳۹۰/۳۱۱/۳۱۷، ۱۳۹۰/۳۱۲/۳۱۸، ۱۳۹۰/۳۱۳/۳۱۹، ۱۳۹۰/۳۱۴/۳۲۰، ۱۳۹۰/۳۱۵/۳۲۱، ۱۳۹۰/۳۱۶/۳۲۲، ۱۳۹۰/۳۱۷/۳۲۳، ۱۳۹۰/۳۱۸/۳۲۴، ۱۳۹۰/۳۱۹/۳۲۵، ۱۳۹۰/۳۲۰/۳۲۶، ۱۳۹۰/۳۲۱/۳۲۷، ۱۳۹۰/۳۲۲/۳۲۸، ۱۳۹۰/۳۲۳/۳۲۹، ۱۳۹۰/۳۲۴/۳۳۰، ۱۳۹۰/۳۲۵/۳۳۱، ۱۳۹۰/۳۲۶/۳۳۲، ۱۳۹۰/۳۲۷/۳۳۳، ۱۳۹۰/۳۲۸/۳۳۴، ۱۳۹۰/۳۲۹/۳۳۵، ۱۳۹۰/۳۳۰/۳۳۶، ۱۳۹۰/۳۳۱/۳۳۷، ۱۳۹۰/۳۳۲/۳۳۸، ۱۳۹۰/۳۳۳/۳۳۹، ۱۳۹۰/۳۳۴/۳۴۰، ۱۳۹۰/۳۳۵/۳۴۱، ۱۳۹۰/۳۳۶/۳۴۲، ۱۳۹۰/۳۳۷/۳۴۳، ۱۳۹۰/۳۳۸/۳۴۴، ۱۳۹۰/۳۳۹/۳۴۵، ۱۳۹۰/۳۴۰/۳۴۶، ۱۳۹۰/۳۴۱/۳۴۷، ۱۳۹۰/۳۴۲/۳۴۸، ۱۳۹۰/۳۴۳/۳۴۹، ۱۳۹۰/۳۴۴/۳۵۰، ۱۳۹۰/۳۴۵/۳۵۱، ۱۳۹۰/۳۴۶/۳۵۲، ۱۳۹۰/۳۴۷/۳۵۳، ۱۳۹۰/۳۴۸/۳۵۴، ۱۳۹۰/۳۴۹/۳۵۵، ۱۳۹۰/۳۵۰/۳۵۶، ۱۳۹۰/۳۵۱/۳۵۷، ۱۳۹۰/۳۵۲/۳۵۸، ۱۳۹۰/۳۵۳/۳۵۹، ۱۳۹۰/۳۵۴/۳۶۰، ۱۳۹۰/۳۵۵/۳۶۱، ۱۳۹۰/۳۵۶/۳۶۲، ۱۳۹۰/۳۵۷/۳۶۳، ۱۳۹۰/۳۵۸/۳۶۴، ۱۳۹۰/۳۵۹/۳۶۵، ۱۳۹۰/۳۶۰/۳۶۶، ۱۳۹۰/۳۶۱/۳۶۷، ۱۳۹۰/۳۶۲/۳۶۸، ۱۳۹۰/۳۶۳/۳۶۹، ۱۳۹۰/۳۶۴/۳۷۰، ۱۳۹۰/۳۶۵/۳۷۱، ۱۳۹۰/۳۶۶/۳۷۲، ۱۳۹۰/۳۶۷/۳۷۳، ۱۳۹۰/۳۶۸/۳۷۴، ۱۳۹۰/۳۶۹/۳۷۵، ۱۳۹۰/۳۷۰/۳۷۶، ۱۳۹۰/۳۷۱/۳۷۷، ۱۳۹۰/۳۷۲/۳۷۸، ۱۳۹۰/۳۷۳/۳۷۹، ۱۳۹۰/۳۷۴/۳۸۰، ۱۳۹۰/۳۷۵/۳۸۱، ۱۳۹۰/۳۷۶/۳۸۲، ۱۳۹۰/۳۷۷/۳۸۳، ۱۳۹۰/۳۷۸/۳۸۴، ۱۳۹۰/۳۷۹/۳۸۵، ۱۳۹۰/۳۸۰/۳۸۶، ۱۳۹۰/۳۸۱/۳۸۷، ۱۳۹۰/۳۸۲/۳۸۸، ۱۳۹۰/۳۸۳/۳۸۹، ۱۳۹۰/۳۸۴/۳۹۰، ۱۳۹۰/۳۸۵/۳۹۱، ۱۳۹۰/۳۸۶/۳۹۲، ۱۳۹۰/۳۸۷/۳۹۳، ۱۳۹۰/۳۸۸/۳۹۴، ۱۳۹۰/۳۸۹/۳۹۵، ۱۳۹۰/۳۹۰/۳۹۶، ۱۳۹۰/۳۹۱/۳۹۷، ۱۳۹۰/۳۹۲/۳۹۸، ۱۳۹۰/۳۹۳/۳۹۹، ۱۳۹۰/۳۹۴/۴۰۰، ۱۳۹۰/۳۹۵/۴۰۱، ۱۳۹۰/۳۹۶/۴۰۲، ۱۳۹۰/۳۹۷/۴۰۳، ۱۳۹۰/۳۹۸/۴۰۴، ۱۳۹۰/۳۹۹/۴۰۵، ۱۳۹۰/۴۰۰/۴۰۶، ۱۳۹۰/۴۰۱/۴۰۷، ۱۳۹۰/۴۰۲/۴۰۸، ۱۳۹۰/۴۰۳/۴۰۹، ۱۳۹۰/۴۰۴/۴۱۰، ۱۳۹۰/۴۰۵/۴۱۱، ۱۳۹۰/۴۰۶/۴۱۲، ۱۳۹۰/۴۰۷/۴۱۳، ۱۳۹۰/۴۰۸/۴۱۴، ۱۳۹۰/۴۰۹/۴۱۵، ۱۳۹۰/۴۱۰/۴۱۶، ۱۳۹۰/۴۱۱/۴۱۷، ۱۳۹۰/۴۱۲/۴۱۸، ۱۳۹۰/۴۱۳/۴۱۹، ۱۳۹۰/۴۱۴/۴۲۰، ۱۳۹۰/۴۱۵/۴۲۱، ۱۳۹۰/۴۱۶/۴۲۲، ۱۳۹۰/۴۱۷/۴۲۳، ۱۳۹۰/۴۱۸/۴۲۴، ۱۳۹۰/۴۱۹/۴۲۵، ۱۳۹۰/۴۲۰/۴۲۶، ۱۳۹۰/۴۲۱/۴۲۷، ۱۳۹۰/۴۲۲/۴۲۸، ۱۳۹۰/۴۲۳/۴۲۹، ۱۳۹۰/۴۲۴/۴۳۰، ۱۳۹۰/۴۲۵/۴۳۱، ۱۳۹۰/۴۲۶/۴۳۲، ۱۳۹۰/۴۲۷/۴۳۳، ۱۳۹۰/۴۲۸/۴۳۴، ۱۳۹۰/۴۲۹/۴۳۵، ۱۳۹۰/۴۳۰/۴۳۶، ۱۳۹۰/۴۳۱/۴۳۷، ۱۳۹۰/۴۳۲/۴۳۸، ۱۳۹۰/۴۳۳/۴۳۹، ۱۳۹۰/۴۳۴/۴۴۰، ۱۳۹۰/۴۳۵/۴۴۱، ۱۳۹۰/۴۳۶/۴۴۲، ۱۳۹۰/۴۳۷/۴۴۳، ۱۳۹۰/۴۳۸/۴۴۴، ۱۳۹۰/۴۳۹/۴۴۵، ۱۳۹۰/۴۴۰/۴۴۶، ۱۳۹۰/۴۴۱/۴۴۷، ۱۳۹۰/۴۴۲/۴۴۸، ۱۳۹۰/۴۴۳/۴۴۹، ۱۳۹۰/۴۴۴/۴۵۰، ۱۳۹۰/۴۴۵/۴۵۱، ۱۳۹۰/۴۴۶/۴۵۲، ۱۳۹۰/۴۴۷/۴۵۳، ۱۳۹۰/۴۴۸/۴۵۴، ۱۳۹۰/۴۴۹/۴۵۵، ۱۳۹۰/۴۵۰/۴۵۶، ۱۳۹۰/۴۵۱/۴۵۷، ۱۳۹۰/۴

فصلنامه علمی - پژوهشی اطلاعات جغرافیایی (SEBAL)
محاسبه و ارزیابی تبخیر در دریاچه پشت سدها ... / ۶۹

- (1), 46-59.
17. Irmak, S., Haman, D., and Jones, J. (2002). Evaluation of class A pan coefficients for estimating reference evapotranspiration in humid location. *Journal of Irrigation and Drainage Engineering*, 128(3), 153-159.
18. Jana, C., Rawat, M., Sena, D., Alam, N., Mandal, U., Kaushal, R., and Mishra, P. (2016). Application of SEBAL model to estimate Evapotranspiration in Doon Valley, India. *Indian Journal of Soil Conservation*, 44(2), 191-197.
19. Li, S., and Zhao, W. (2010). Satellite based actual evapotranspiration estimation in the middle reach of the Heihe River Basin using the SEBAL method. *Hydrological Processes*, 24 (23), 3337-3344.
20. National Water Commission. (2009). Assessment of Evaporation Losses from the Menindee Lakes using SEBAL Remote Sensing Technology. water watch
21. Rahimi, S., Gholami Sefidkouhi, M.A., Raeini-Sarjaz, M., and Valipour, M. (2015). Estimation of actual evapotranspiration by using MODIS images (a case study: Tajan catchment). *Archives of Agronomy and Soil Scie*, 61(5), 695-709.
22. Sima, S., Ahmadalipour, A., and Tajrishy, M. (2013). Mapping surface temperature in a hyper-saline lake and investigating the effect of temperature distribution on the lake evaporation. *Remote Sensing of Environment*, 136, 374-385.
23. Sun Z., Wei B., Su W., Shen, W., Wang C., You D., and Liu, Z. (2011). Evapotranspiration estimation based on the SEBAL model in the Nansi Lake Wetland of China. *Mathematical and Computer Modelling*, 54 (3-4), 1086-1092.
24. Yang, J.Y., Mei, X.R., Huo, Z.G., Yan, C.-., Hui, J., Zhao, F.H., and Qin, L. (2015). Water consumption in summer maize and winter wheat cropping system based on SEBAL model in Huang-Huai-Hai Plain, China. *Journal of Integrative Agriculture*, 14, 2065-2076.
25. Zare, A. H., Yazdani, V., and Azhdari, K. (2009). Comparative study of four meteorological drought index based on relative yield of rain fed wheat in Hamedan province. *Physical Geography Research Quarterly*, (69), 35-49.
6. سایت سازمان هواشناسی ایران (۱۳۹۵). <http://www.irimo.ir>
7. Allen, R.G., Tasumi, M., and Trezza, R. (2007). Satellite-based energy balance for mapping evapotranspiration with internalized calibration (METRIC) Model. *Journal of irrigation and drainage engineering*, 133, 380.
8. Allen, R., Waters, R., Tasumi, M., Trezza, R., and Bastiaanssen, W. (2002). SEBAL, Surface energy balance algorithms for land, Idaho Implementation. Advanced Training and Users Manual, version 1.0.
9. Bastiaanssen, W., Menenti, M., Feddes, R., and Holtslag, A. (1998). A remote sensing surface energy balance algorithm for land (SEBAL). 1. Formulation. *Journal of Hydrology*, 212, 198-212.
10. Bastiaanssen, W. (2000). SEBAL-based sensible and latent heat fluxes in the irrigated Gediz Basin, Turkey. *Journal of hydrology*, 229, 87-100.
11. Bastiaanssen, W., Noordman, E., Pelgrum, H., Davids, G., Thoreson, B., and Allen, R. (2005). SEBAL model with remotely sensed data to improve water-resources management under actual field conditions. *Journal of irrigation and drainage engineering*, 131(1), 85-93.
12. Bastiaanssen, W., Plegruma, H., Wang, J., Ma, Y., Moreno, J. F., Roerink, G. J., and van der Wal, T. (1998). A remote sensing surface energy balance algorithm for land (SEBAL). 2. Validation. *Journal of Hydrology*, 212, 213-229.
13. De Lima, J. A. S., and Santos, J. (1995). Generalized Stefan-Boltzmann Law. *International Journal of Theoretical Physics*, 34 (1), 127-34.
14. Duffie, J. A., and Beckman, W. A. (2013). Solar engineering of thermal processes (Vol. 3): Wiley New York.
15. Gao, Y., Long, D., and Li, Z. (2008). Estimation of daily evapotranspiration from remotely sensed data under complex terrain over the upper Chao river basin in north China. *International Journal of Remote Sensing*, 29 (11), 3295-3315.
16. Genanu, M., Alamirew, T., Senay, G., and Gebremichael, M. (2017). Remote Sensing Based Estimation of Evapo-Transpiration Using Selected Algorithms: The Case of Wonji Shoa Sugar Cane Estate, Ethiopia. *Journal of Environment and Earth Science*, 7